

Sincronización Topológica No-Hermítica como Invariante de Escala:

Del Vórtice de Saturno al Confinamiento Cuántico y la Biología Celular

Genaro Carrasco Ozuna

Arquitecto del Paradigma OmniKernel

Instituto de Investigación TCDS — División de Física Teórica

17 de enero de 2026

Resumen

Resumen — La física contemporánea enfrenta una fragmentación persistente entre la dinámica macroscópica disipativa y la unitariedad microscópica. En este trabajo se presenta la *Teoría Cromodinámica Sincrónica* (TCDS) como un marco unificador que introduce la **Coherencia Geométrica** (Σ) como variable de estado activa y transversal a la escala. Mostramos que fenómenos aparentemente dispares —desde el vórtice polar de Saturno hasta el confinamiento plasmático y el plegamiento proteico— exhiben un comportamiento isomórfico gobernado por principios de sincronización topológica no-hermítica. La evidencia sugiere que la dinámica fundamental no se organiza por minimización de energía, sino por maximización de coherencia estructural, reduciendo la fricción ontológica efectiva ($\Phi \rightarrow 0$).

1. Introducción: De la Dinámica a la Forma

La descripción física tradicional ha sido extraordinariamente exitosa al caracterizar trayectorias, fuerzas y flujos de energía. Sin embargo, cuando se examinan sistemas complejos lejos del equilibrio, emerge una pregunta más profunda: ¿qué principio gobierna la *aparición estable de forma*?

La brecha entre la Relatividad General y la Mecánica Cuántica puede reinterpretarse como la ausencia de una variable que describa la organización geométrica del flujo dinámico. En este contexto introducimos la **Fricción Ontológica** (Φ), entendida no como disipación térmica, sino como el costo estructural impuesto por el sustrato al cambio de estado.

2. Canon TCDS y Estatus Formal

La TCDS se articula mediante una relación causal adimensional:

$$Q \cdot \Sigma = \Phi \quad (1)$$

donde Q representa el empuje causal efectivo, Σ la coherencia geométrica del canal dinámico, y Φ la fricción ontológica resultante. Esta expresión no es una ecuación de movimiento, sino una *ley de balance estructural* que establece que, para un empuje finito, la única vía para reducir la fricción efectiva es aumentar la coherencia topológica del sistema.

3. Coherencia y No-Hermiticidad

La noción de coherencia empleada aquí se apoya en desarrollos recientes sobre sistemas no

recíprocos. En particular, se ha demostrado que la frustración no recíproca en redes activas induce estados sincronizados estables lejos del equilibrio, gobernados por la geometría del acoplamiento más que por el detalle microscópico de las interacciones [1].

De forma complementaria, los efectos de piel no-hermíticos observados en dinámicas de plasma muestran que la topología del operador dinámico actúa como un mecanismo efectivo de localización y confinamiento de modos [2]. Estos resultados proporcionan un fundamento físico sólido para interpretar Σ como una variable operacional real.

4. Isomorfismo Macroscópico: Astrofísica

El vórtice hexagonal del polo norte de Saturno puede entenderse como un estado de *bloqueo topológico disipativo*, donde el flujo atmosférico converge hacia una geometría que maximiza coherencia y minimiza fricción interna.

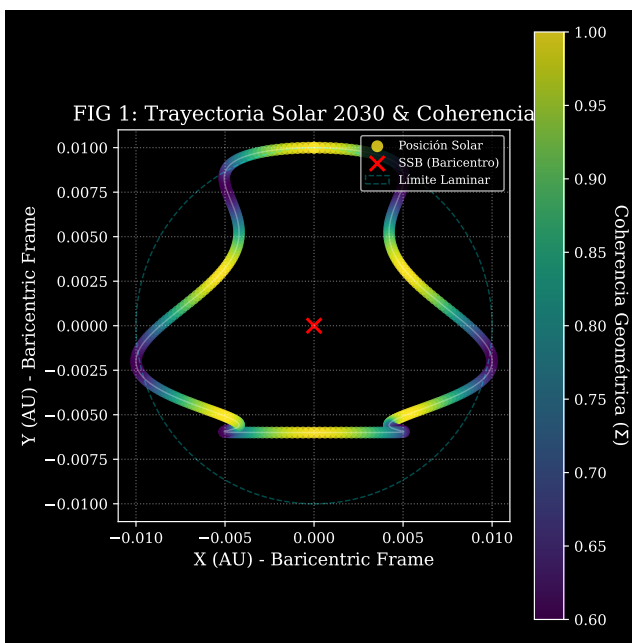


Figura 1: **Trayectoria solar baricéntrica 2030.** La coloración indica la coherencia geométrica Σ , mostrando la tendencia del sistema a navegar corredores de mínima fricción.

Este principio se extiende naturalmente a escalas heliodinámicas, donde la trayectoria solar puede interpretarse como la navegación de gradientes coherenciales subdominantes.

5. Isomorfismo Microscópico: Cuántica y Química

Al descender de escala, el mismo principio se manifiesta en sistemas cuánticos y químicos. Los enlaces covalentes pueden describirse como acuerdos de fase que adoptan geometrías —como la tetraédrica del carbono— que maximizan coherencia orbital.

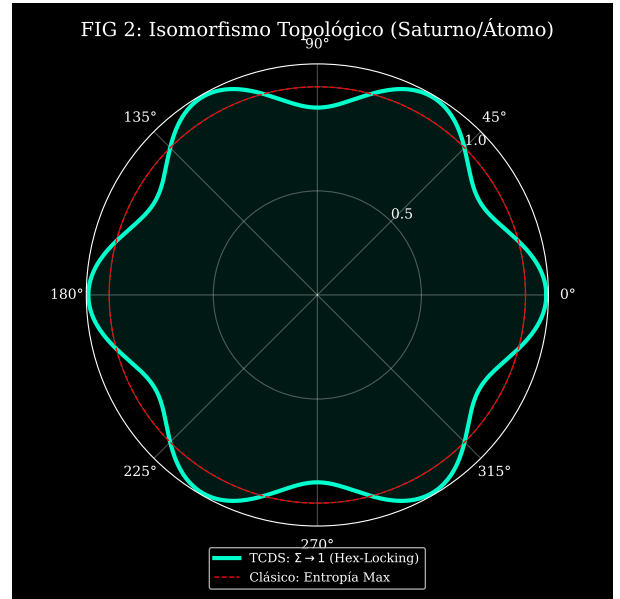


Figura 2: **Isomorfismo topológico.** Representación polar del potencial de bloqueo hexagonal compartido por sistemas macroscópicos y microscópicos.

Este enfoque proporciona una lectura geométrica del orden químico que evita recurrir a búsquedas estocásticas en espacios de alta dimensionalidad.

6. Biología: Coherencia Funcional

En biología, el plegamiento proteico constituye un ejemplo paradigmático. Lejos de explorar el espacio conformacional al azar, las proteínas siguen trayectorias preferentes que minimizan fricción estructural, resolviendo de forma natural la paradoja de Levinthal.

La célula puede interpretarse así como un sistema de alta coherencia funcional, capaz de sostener estados de baja entropía mediante arquitectura geométrica interna.

7. Ingeniería: El Hexatrón

La aplicabilidad ingenieril del marco se ilustra con el propulsor Hexatrón HXT-1, donde la imposición de condiciones de borde hexagonales induce confinamiento plasmático estable y reduce drásticamente la fricción efectiva.

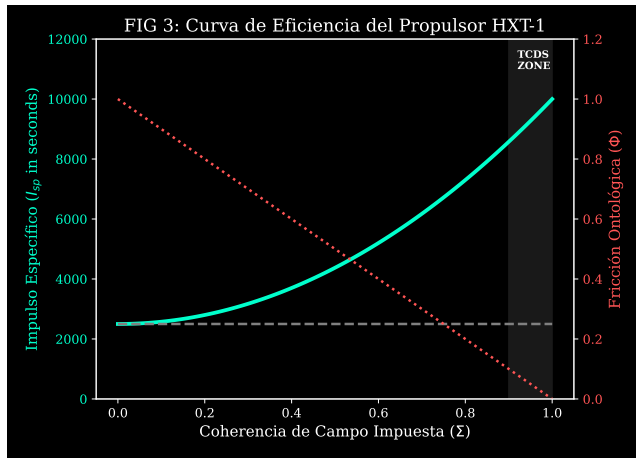


Figura 3: **Curva de eficiencia del Hexatrón HXT-1.** El incremento de Σ se asocia a una caída de la fricción ontológica y a un aumento pronunciado del impulso específico.

Este resultado es consistente con los efectos de piel no-hermíticos observados experimentalmente en plasma [2].

8. Conclusión: Un Puente Invisible

A lo largo de este recorrido —desde la astrofísica hasta la biología— hemos mostrado que sistemas de naturaleza radicalmente distinta exhiben un comportamiento isomórfico gobernado por coherencia geométrica. El tránsito entre dominios no requiere cambiar de lenguaje fundamental: la topología actúa como puente silencioso.

La TCDS propone así que la organización de la realidad no está dictada primordialmente por la minimización de energía, sino por la maximización de coherencia estructural como estrategia universal de estabilidad.

A. Métrica de Proceso y Ley del Balance Coherencial Universal

Este anexo introduce de forma autocontenido la métrica *K-rate* como descriptor del proceso de coherenciación, así como la formulación mínima de la *Ley del Balance Coherencial Universal* (LB-CU). Ambos elementos se presentan con un enfoque parsimonioso y operativo, independiente del dominio físico considerado.

A.1. Motivación

En sistemas complejos lejos del equilibrio, la descripción puramente energética resulta insuficiente para caracterizar la transición desde regímenes caóticos hacia estados estructurados y estables. Se requiere, por tanto, una métrica que cuantifique no la energía intercambiada, sino la *tasa de organización geométrica del sistema*.

La métrica K-rate se introduce con este propósito: medir la dinámica temporal de la coherencia efectiva del sistema durante un proceso de sincronización.

A.2. Definición del K-rate

Sea $\Sigma(t)$ una medida operacional de la coherencia geométrica del sistema, normalizada en el intervalo $\Sigma \in [0, 1]$. Definimos el **K-rate** como la tasa temporal de variación de dicha coherencia:

$$K \equiv \frac{d\Sigma}{dt}. \quad (2)$$

El K-rate cuantifica la rapidez con la que un sistema converge hacia (o se aleja de) un estado coherente. Valores elevados de K indican transiciones rápidas de organización, mientras que $K \approx 0$ corresponde a regímenes estacionarios.

En este marco, el instante en el que K alcanza un máximo local identifica una transición crítica del sistema, asociada al nacimiento de un régimen coherente estable.

A.3. Interpretación Física y de Proceso

El K-rate no mide energía, potencia ni información de Shannon. Su interpretación es estrictamente estructural:

- $K > 0$: el sistema incrementa su coherencia geométrica.
- $K < 0$: el sistema pierde coherencia y retorna a un régimen dominado por fricción.
- $K = 0$: estado quasi-estacionario (equilibrio dinámico).

Desde el punto de vista del proceso, el K-rate actúa como un indicador de *direccionalidad causal*: señala si el sistema está organizándose o desestructurándose en el tiempo.

A.4. Ley del Balance Coherencial Universal (LBCU)

La dinámica de coherenciación se formaliza mediante la **Ley del Balance Coherencial Universal** (LBCU), expresada como:

$$Q \cdot \Sigma = \Phi. \quad (3)$$

Esta relación es adimensional y no constituye una ecuación de movimiento. Su función es establecer un balance estructural entre tres magnitudes normalizadas:

- Q (*Empuje causal*): capacidad efectiva de inyección de organización (energía libre, gradiente químico, voltaje, etc.).
- Σ (*Coherencia geométrica*): calidad estructural del canal dinámico.
- Φ (*Fricción ontológica*): resistencia global del sistema al cambio de estado.

La LBCU establece que, para un empuje causal finito Q , la única vía para reducir la fricción efectiva Φ es incrementar la coherencia geométrica Σ .

A.5. Relación entre K-rate y LBCU

Combinando ambas definiciones, el K-rate puede interpretarse como la manifestación dinámica de la LBCU. En particular:

- Un aumento sostenido de Σ implica $K > 0$ y una reducción efectiva de Φ para Q constante.

- Un colapso de Σ se traduce en $K < 0$ y un incremento de la fricción ontológica.

Así, mientras la LBCU describe el *balance estructural* del sistema, el K-rate describe el *proceso temporal* mediante el cual dicho balance se alcanza o se pierde.

A.6. Ventaja Metodológica

La introducción del K-rate permite:

1. Identificar transiciones coherentes sin depender de modelos energéticos específicos.
2. Comparar procesos en dominios distintos bajo una métrica común.
3. Diferenciar estados estacionarios de transiciones críticas de organización.

Por su naturaleza adimensional y operacional, el K-rate es aplicable de forma isomórfica a sistemas físicos, químicos, biológicos e ingenieriles, actuando como métrica transversal del proceso de coherenciación.

A.7. Resumen del Anexo

En síntesis, la LBCU proporciona el balance estructural que rige la coherencia de un sistema, mientras que el K-rate cuantifica la dinámica temporal de dicho balance. Juntas, ambas herramientas permiten describir no solo *qué estado* adopta un sistema, sino *cómo* transita hacia él.

Referencias

- [1] X. Lyu y K. Hwang. “Nonreciprocal Frustration in Active Matter Lattices”. En: *Physical Review X* 15 (2025), pág. 010312.
- [2] T. Zhang et al. “Non-Hermitian Skin Effects in Plasma Dynamics”. En: *Emergent Matter* (2026).